

広島大学工学部 正員 大村 裕  
 広島大学工学部 正員 藤井 堅  
 三菱重工業(株) 正員 平尾 克之

1. まえがき 従来、曲線桁の腹板パネルのみを対象とした解析的研究が幾つか行われて いるものの、フランジを考慮した板殻構造としての解析例は数少い。<sup>1)</sup> また、これらのはほとんどが弾性解析である。本研究では、幾何的非線形性のみならず、材料的非線形性を考慮した曲線桁の板殻構造解析を実行し、腹板剛性が断面変形挙動や曲げ耐荷力に及ぼす影響について考察した。

2. 解析モデル 解析の対象は、図1のように、曲線プレートガーダーの左右の鉛直補剛材で挟まれた桁の1/4画とした。

このとき、鉛直補剛材接合部では断面変形は無視されるとして考え、端部断面では梁理論の変位場仮定を満足するように、あらかじめ剛性行列を変換する処理を行っている。この方法により、荷重は端断面の断面力を入力すれば良く、中央断面で曲げモーメントのみ発生するようになり、両端断面に曲げモーメントを作用させた。断面諸量は、桁高  $h = 120 \text{ cm}$ 、フランジ-ウェブ面積比  $A_{fc}/A_w = 1.0$ 、フランジ幅厚比  $b/t_f = 13.33$ 、曲率パラメータ  $\zeta = h^2/(1-\nu^2)/R t_w = 11.45$  を各ケース一定とし、腹板幅厚比  $h/t_w = 100, 120, 200, 300, 500$  と変化させた。さらに、 $h/t_w = 300$  に関して、 $Rd/h = 0.667, 1.0, 1.5$  と変化させた。また、フランジには接着移形の残留応力分布 ( $\sigma_{ft} = \sigma_g, \sigma_{fc} = 0.5 \sigma_g$ ) を仮定し、腹板の残留応力は考慮しないこととした。材料は、完全弾塑性体 ( $E = 2.1 \times 10^4 \text{ kN/cm}^2, \nu = 0.3, \sigma_y = 3000 \text{ kN/cm}^2$ ) とした。

3. 断面変形 図2は、 $h/t_w$  を変化させた場合の A 点(図1参照)のフランジねじれ角  $\varphi_0$  を荷重係数  $K = \frac{\pi^2 D_w}{h^2 t_w}$  とともに示したものであり、図3は、同様に B 点の腹板面外変位  $u/t_w$  を示したものである。 $h/t_w = 100, 120, 200$  のケースでは、フランジねじれ座屈現象が現れており(図2)、これに伴って、腹板面外変位も急増している。(図3)これに対し、 $h/t_w = 300, 500$  のケースでは、腹板面外変位が途中から減少する現象が

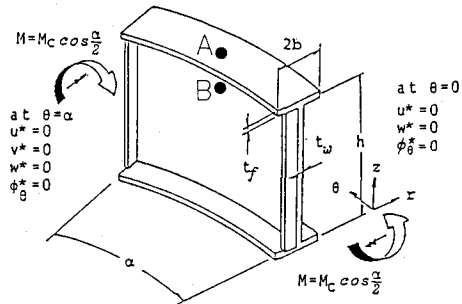


図1 解析モデル

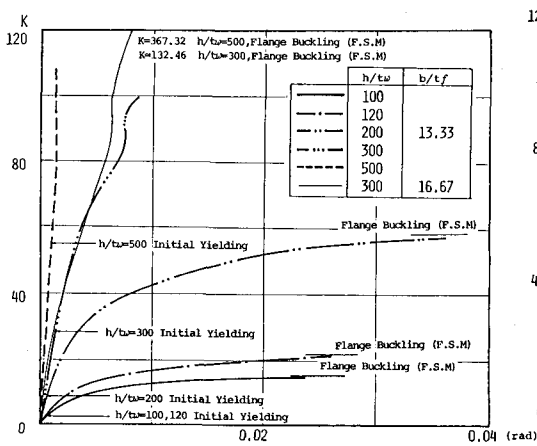


図2 荷重—フランジねじれ角曲線 (A点)

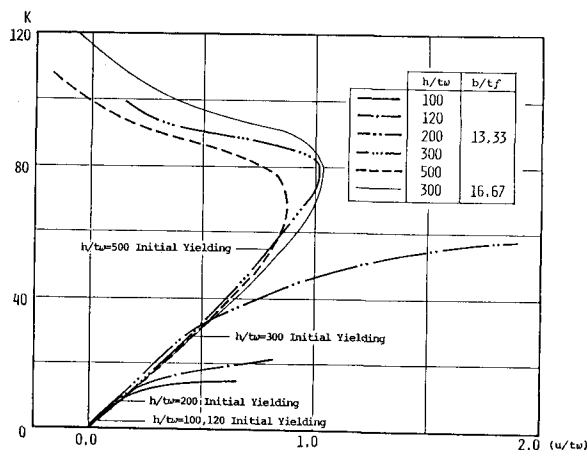


図3 荷重—腹板面外変位曲線 (B点)

現している。(図3)これは、腹板たわみ形が圧縮側ごく周方向に正弦半波(1次モード)から正弦1.5波(3次モード)に移行するためである。しかし、たわみ形の移行による腹板面外変位の減少は、フランジねじ山角にはほとんど影響を与えていない。(図2)これは、 $h/t_w$ が大きいと相対的に腹板剛性が小さくなり、腹板のフランジに対する拘束力も小さくなるためと考えられる。一方、腹板総横比 $Rd/h$ については、 $Rd/h=0.667, 1.0, 1.5$ の各ケースでは、 $Rd/h=0.667, 1.0, 1.5$ の各ケースでは、 $Rd/h=0.667$ のケースではフランジねじ山座屈現象が現れ、 $Rd/h=1.0, 1.5$ のケースでは腹板の座屈現象が生じた。図4にフランジねじ山座屈崩壊モードと腹板の座屈モードの一例を示した。

4. 耐荷力 本解析ケースでは、荷重の初期段階から圧縮側腹板の応力欠損が顕著であり、腹板の曲げモーメント分担率の減少は、 $h/t_w$ や $Rd/h$ にかかわらず割合度であった。しかし、荷重が大きくなると、圧縮フランジのねじ山座屈現象やフランジの塑性域の進展により、フランジで圧縮力を受け持つことができなくなり、これが起因して腹板の応力欠損はそれほど顕著ではなくなった。図5に、直析の耐荷力曲線に本解析結果をプロットしたものと示す。ここで、 $M_y'$ は直析の降伏モーメント。 $M_y$ は曲線桁フランジの面内に発生する曲げモーメントを考慮した降伏モーメントを示す。図5で、 $h/t_w = 300, 500, Rd/h = 1.0, 1.5$ のケースはBasler曲線よりもかなり低い値となっていたが、これは前述のように腹板の座屈によるためで、このまま耐荷力として評価するのは問題がある。また、 $h/t_w = 100, 120, 200, Rd/h = 0.667$ のケースはフランジの座屈崩壊であるため表1のように、Baslerの理論値に座屈応力 $\sigma_{cr}$ を用いて補正した値と比較する。表1では、 $h/t_w = 100, 120$ のケースで $M_u/M_y'$ が直析の理論値をわずかに上回るが、曲げ耐荷力の指標として $M_y'$ を用いることが有効であると予想される。また、 $h/t_w = 200, Rd/h = 0.667$ のケースの $M_u/M_y'$ は理論値よりも大きくなっているが、これは、腐食線とともに

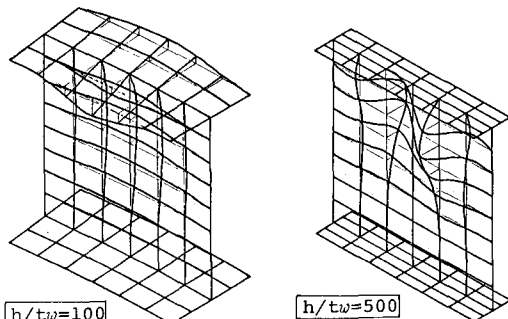


図4 崩壊・座屈モード

$M_y'$ は直析の降伏モーメント。

$M_y$ は曲線桁フランジの面内に発生す

る曲げモーメントを考慮した降伏モー

モーメントを示す。図5で、 $h/t_w = 300,$

$500, Rd/h = 1.0, 1.5$ のケースは Bas-

ler 曲線よりもかなり低い値となっ

ているが、これは前述のように腹板の座

屈によるためで、このまま耐荷力とし

て評価するのは問題がある。また、 $h/$

$t_w = 100, 120, 200, Rd/h = 0.667$ のケ

ースはフランジの座屈崩壊であるため

表1のように、Baslerの理論値に座

屈応力 $\sigma_{cr}$ を用いて補正した値と比較

する。表1では、 $h/t_w = 100, 120$ のケースで

$M_u/M_y'$ が直析の理論値をわずかに上回るが、

曲げ耐荷力の指標として $M_y'$ を用いること

が有効であると予想される。また、 $h/t_w = 200,$

$Rd/h = 0.667$ のケースの $M_u/M_y'$ は理論値よ

りも大きくなっているが、これは、腐食線とモ

ーを考慮した値と比較する。

腹板の応力欠損を考えているのに対し、この場合には応力欠損がそれほど顕著ではないためであると思われる。

#### 参考文献

- 1) 佐藤・植渡: The Finite Displacement Behavior of Horizontally Curved Elastic I-Section Plate Girders under Bending, No.350 I-2, Oct. 1984
- 2) 大村・藤井: 部分構造とした曲線桁断面変形解析の境界条件について, 第38回年次学術講演会講演概要集第1部, pp209~210, 1986年5月
- 3) 三上・吉西・米沢: 曲げを受ける円筒腹板ハネルの非線形挙動, 土木学会論文報告集, 第297号, pp23~34, 1980年7月